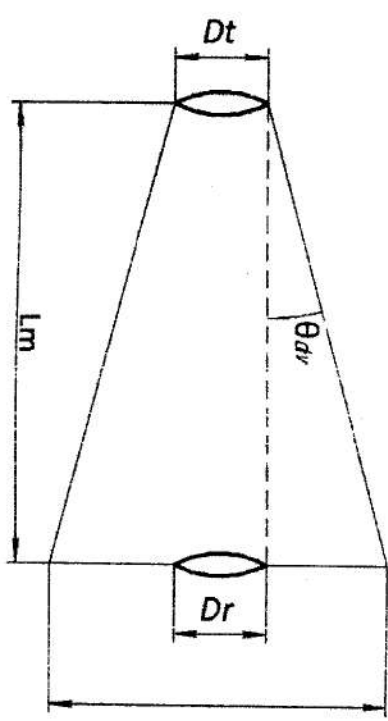


6041

МИНИСТЕРСТВО НАУКИ И ВЫСШЕГО ОБРАЗОВАНИЯ РОССИЙСКОЙ ФЕДЕРАЦИИ
РЯЗАНСКИЙ ГОСУДАРСТВЕННЫЙ РАДИОТЕХНИЧЕСКИЙ УНИВЕРСИТЕТ
им. В.Ф. Уткина

**ИССЛЕДОВАНИЕ АТМОСФЕРНОЙ
ОПТИЧЕСКОЙ ЛИНИИ СВЯЗИ АРТОLINK MIL-G**

Методические указания
к лабораторной работе



УДК 621.396.67

Использование атмосферной оптической линии связи Атолink MI-C: методические указания к лабораторной работе / Рязан. гос. радиотехн. ун-т; сост.

Л.В. Аронов. Рязань, 2021. 12 с.

Содержит описание лабораторной работы. Продолжительность работы 4 часа, ломжиния подготовка к работе – 4 часа.

Предназначены для проведения лабораторных работ в лаборатории устройств СВЧ и антенн имени лауреата Государственной премии, заслуженного деятеля науки и техники, доктора технических наук, профессора Василия Ивановича Попковкина при изучении дисциплины «Оптические системы передачи».

Табл. 2. Ил. 5. Библиогр.: 8 назв.

Оптические системы передачи, атмосферные оптические линии связи (АОЛС) лазерная связь

Печатается по решению радиоэлектронно-издательского совета Рязанского государственного радиотехнического университета.

Редактор: кафедра РУС Рязанского государственного радиотехнического университета (зав. кафедрой) проф. С.Н. Кириллов)

С помощью атмосферных оптических линий связи (АОЛС) организуются соединения типа «точка-точка». АОЛС состоит из пары идентичных приемопередающих модулей, расположенных в пределах прямой видимости относительно друг друга. Кроме того, в линии встроены дополнительные устройства, отвечающие за питание, мониторинг и настройку приемопередающих модулей (ППМ) и подключение к каналообразующему оборудованию. Ее основе технологии лежит передача данных модулированным инфракрасным излучением через атмосферу. В качестве передатчика используется, как правило, полупроводниковый лазер. Входной электрический сигнал поступает в ППМ, в котором осуществляются помехоустойчивое кодирование и модуляция оптического излучения, которое фокусируется оптической системой передатчика в узкий лазерный луч и передается в атмосферу.

На принимающей стороне оптическая система ППМ фокусирует оптический сигнал на высокочувствительный фотодиод (или лавинный диод), который преобразует оптическое излучение в электрический сигнал. При этом чем шире электрическая полоса сигнала, тем больше скорость передачи информации. Принятый сигнал демодулируется и преобразуется в сигналы выходного интерфейса.

Передатчик. Назначение оптического передатчика – формирование исходного сигнала с заданными параметрами модуляции и выходной мощностью. Структура оптического передатчика показана на рис. 1.

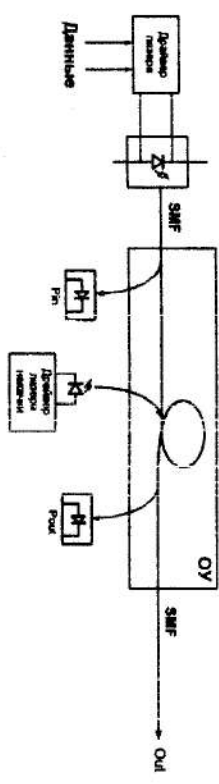


Рис. 1. Структура оптического передатчика

Поскольку в оптическом диапазоне практически отсутствует проблема электромагнитной совместности и ограничения на ширину

Подписано в печать 26.06.2021. Формат бумаги 60x84 1/16.
Бумага писчая. Печать граверная Усл. печ. л. 0,75.

Горячий граверный радиотехнический университет.

Рязанский государственный радиотехнический университет.
39005, Рязань, ул. Гагарина, 59/1.

Редакционно-издательский центр РГРТУ.

ИССЛЕДОВАНИЕ АТМОСФЕРНОЙ ОПТИЧЕСКОЙ ЛИНИИ СВЯЗИ ARTOLINK MI-C

Лабораторная работа

ТЕОРЕТИЧЕСКАЯ ЧАСТЬ

Исследование атмосферной оптической линии связи Artolink MI-C: ме-

тодические указания

Л.В. Аронов

Рязань

2021. 12 с.

Подпись: Аронов Левонид Вячеславович

Редактор Р. К. Мантурова

Корректор С. В. Макушина

Год

Подпись:

Год

спектра сигнала, то обычно применяется самый простой вид модуляции – амплитудная (модуляция по интенсивности). Этот тип модуляции называется ОOK (on-off keying).

Передатчик представляет собой обычную «мигалку», включенное состояние которой соответствует «1», а выключенное «0». Такой вид модуляции применялся еще на заре развития электросвязи в системах телеграфирования. Коренное отличие современных систем состоит в скорости модуляции. Для передачи потока 10 Гбит/с требуется генерация импульсов с шириной 100 пс и стабильностью фронтов не хуже 20 пс. Эта задача сегодня может быть решена прямой модуляцией тока лазерного диода. Для более высоких скоростей необходимо применять внешние оптические модуляторы.

Генерирование столь «коротких» импульсов может быть осуществлено только на маломощных генераторах. Типичная мощность волоконных передатчиков лежит в диапазоне 0,5–2 мВт. Для увеличения мощности применяются оптические усилители (ОУ или ОА – optical amplifier), которые бывают полупроводниковыми или волоконно-оптическими. Последний тип усилителей имеет большую выходную мощность и лучше подходит для использования в АОЛС. Кроме того, ОУ выполняются в интегральном волоконном исполнении, не требуют юстировки, не боятся пыли и демонстрируют надежность в сотни тысяч часов наработки на отказ.

В качестве задающего генератора используется полупроводниковый лазер с прямой модуляцией тока накачки. Для этого используется специализированная микросхема драйвера лазерного диода. Она обеспечивает оптимальные режимы работы диода, включая задание нужной величины тока смещения, уровня тока модуляции, а также компенсацию температурных дрейфов.

Приёмник. Классическая структурная схема оптического приёмника для применения приведена на рис.2.

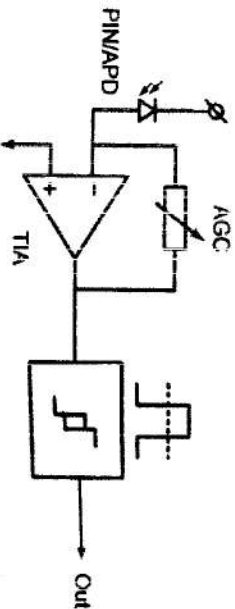


Рис. 2. Структура оптического приёмника для высокоскоростной передачи информации

Приёмник может быть выполнен на PIN или APD фотодиоде. Для диапазона длин волн 1,55 мкм материал, из которого выполняется собственно фотодиод, – это InAsGa. Спектральная чувствительность этого материала лежит в диапазоне от 1200 до 1700 нм. Скоростные свойства определяются, прежде всего, размером фоточувствительной площадки. Для скорости 10 Гбит/с ее диаметр составляет от 30 до 50 мкм. Это меньше диаметра применяемого волокна – 62 мкм. Для согласования размеров светового поля и площадки требуется специальная оптическая система.

В качестве непосредственного преобразователя свет-ток (O/E) используется схема классического приемника. Но на его входе добавляется предварительный оптический усилитель (рис.3).

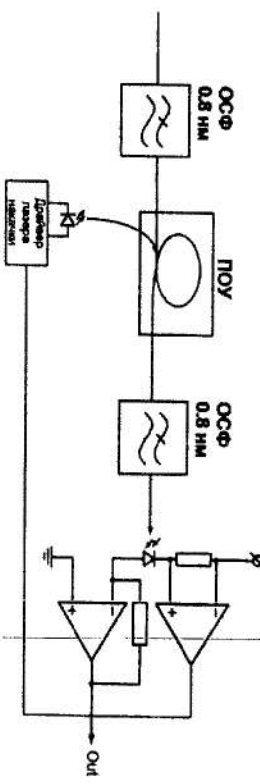


Рис. 3. Структура оптического приемника с предварительным ОУ

Предварительный ОУ обеспечивает дополнительный прирост оптического сигнала на 20–25 дБ. Усиление зависит от мощности оптической накачки и может быть легко отрегулировано путем введения обратной связи по току фотодиода. Предельная чувствительность такой схемы S зависит от шумов предварительного усилителя и описывается выражением

$$S = -58 + NF + OSNR [\text{дБм}], \quad (1)$$

где NF – шум-фактор усилителя, OSNR – оптическое отношение сигнал/шум, которое определяется в заданной оптической полосе. Для одномодовых ОУ OSNR составляет 33,5 дБ, для многомодовых ОУ – 13–15 дБ.

В интересах улучшения OSNR в схему введены два оптических фильтра. Уровень ошибок BER=10⁻¹² соответствует OSNR 17 дБ, для BER=10⁻⁹ достаточно 15 дБ. Источником шума в приемнике для такой схемы являются биения между спонтанным излучением усилителя и сигналом, и по своему характеру этот шум приближается к дробовому. Данный тип шума эффективно преодолевается с помощью избыточного

колирования. Оно увеличивает требуемую электрическую полосу канала на 710 %, но дает выигрыш по эквивалентной чувствительности в 6-7 дБ.

ЦЕЛИ РАБОТЫ

1. Изучение теоретических основ АОЛС.
2. Приобретение навыков расчета параметров систем АОЛС.
3. Исследование влияния атмосферы на работу АОЛС.
4. Приобретение навыков работы с оборудованием АОЛС Artolink MI-GE.

ЭКСПЕРИМЕНТАЛЬНАЯ УСТАНОВКА

Описание экспериментальной установки (рис. 4). Состоит из двух идентичных приёмопередающих лазерных модулей, двух блоков интерфейсов и комбинированных кабелей, соединяющих лазерный модуль и блок интерфейсов. Блок интерфейсов выступает в качестве источника питания для лазерного модуля и служит для подключения канапобразующего оборудования и коммутации потоков передачи информации.

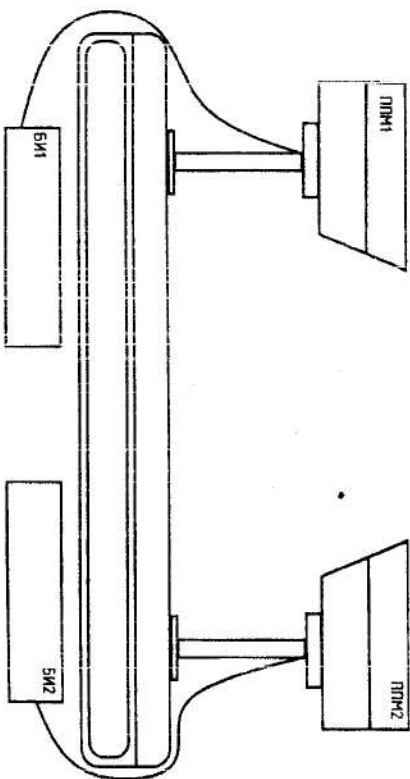


Рис. 4. Структурная схема экспериментальной установки

ГПМ имеет приёмопередающую оптическую систему,строенную систему автоматической корректировки оси диаграммы направленности (ОДН), оптический усилитель (ОУ).

Для работы ГПМ используется две длины волн и соответственно реализовано деление на служебный канал (СПК), который вы-

ступает в качестве сервисного и отвечает за точное наведение и передачу служебных данных о состоянии удалённого терминала, и измерительный информационный канал (ИЗК), который используется для прохождения высокочастотных сигналов. Служебный канал работает на длине волны 785 нм. Предназначен для организации работы системы автоматической подстройки осей диаграмм направленности и точного позиционирования терминалов установки друг относительно друга на различных дистанциях.

Блок интерфейсов (БИ) обеспечивает питание лазерного модуля, обмен сигналами телеконтроля и телемониторинга с внешним компьютером через сервисный протокол и подключение канапобразующего оборудования. Каналообразующее оборудование подключается к SFP+, расположенному на блоке интерфейсов, с помощью линий: SFP+ модулей, поддерживающих стандарт 10GBASE. Разработана плата интерфейса с возможностью подключения до 4-х приёмопередатчиков на основе стандартных SFP+ модулей с пропускной способностью до 10 Гбит/с каждый.

Параметры оптического волокна, присоединенного к источнику излучения: диаметр сердцевины $D_1=8$ мкм, числовая апертура $NA_1=0,12$, показатель преломления сердцевины $n_1=1.475$.

Оптическое волокно, присоединенное к фотодиодному приемнику: $NA_2=0,27$; $D_2=62,5$ мкм; $n_2=1.475$.

Эти волокна оптически соединены торцами между собой, при этом оптическое волокно, соединенное с источником излучения, оптически соединено с боковой поверхностью оптического волокна, соединенного с фотодиодным приемником, под углом β , который определяется из условия:

$$\sin \alpha = \frac{NA_2}{n_2} = \frac{NA_1}{n_1},$$

отсчитываемого от оптического волокна, при этом торец третьего волокна, оптически соединенный с приемопередающей монократичной оптической системой, отшлифован под углом β к поверхности, перпендикулярной к своей оси при, условии, что

$$\frac{1}{n_2} - \frac{NA_2}{n_2} > \sin \beta > \frac{NA_1}{n_1},$$

где $D_2 > D_1$ и $NA_2/n_2 > NA_1/n_1$.

Данное излучение, выходящее из волокна, характеризуется числовой апертурой NA , которая равна

$$NA = \sin \gamma;$$

где γ – половинный угол расходимости излучения, вышедшего из оптического волокна в воздух.

Соответственно числовая апертура излучения внутри волокна равна $\sin \gamma / n$, где n – показатель преломления сердцевины оптического волокна.

Вывод условий для данного согласования показан на рис.5.

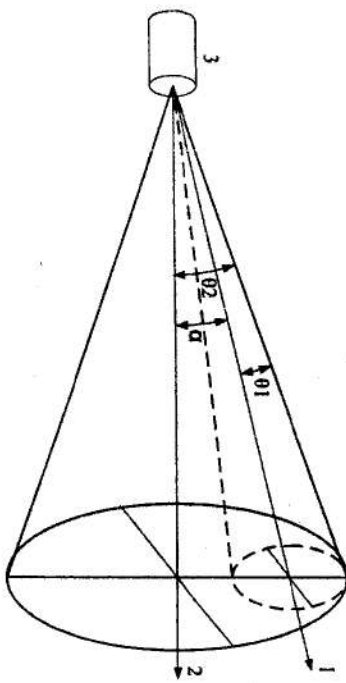


Рис. 5. Условие для угла ввода входящего излучения

На рис. 5 1 – оптическая ось вводимого излучения; 2 – оптическая ось многомодового оптического волокна; 3 – многомодовое волокно; α – угол между оптической осью вводимого излучения и оптической осью многомодового волокна; θ_1 – угол расходности вводимого излучения, соответствующий числовой апертуре оптического волокна 4; θ_2 – угол расходности излучения, соответствующий числовой апертуре многомодового оптического волокна 2.

Углы θ_1 и θ_2 связаны соотношениями с числовыми апертурами оптических волокон следующими выражениями:

$$\sin \theta_1 = \frac{NA_1}{n_1};$$

$$\sin \theta_2 = \frac{NA_2}{n_2}.$$

Поскольку должно выполняться условие полного внутреннего отражения, следует, что угол между оптической осью вводимого излучения и оптической осью многомодового волокна должен соответствовать условию, чтобы конус оптического вводимого излучения находился внутри конуса допустимых углов распространения излучения в многомодовом волокне. Из рис.5 это сводится к условию

$$\alpha = \theta_2 - \theta_1 \text{ или } \sin \alpha < \frac{NA_2}{n_2} - \frac{NA_1}{n_1}.$$

Угол β должен соответствовать условию, когда излучение, распространяющееся внутри волокна с максимально допустимым углом, соответствующим числовой апертуре NA_2/n_2 , при отражении от шифованныго торца на двойной угол β , не находится внутри конуса с углом, соответствующим числовой апертуре NA_2/n_2 . Таким образом, на угол β накладывается условие

$$\frac{1}{n_2} - \frac{NA_2}{n_2} < \sin \beta > \frac{NA_2}{n_2}.$$

Для многомодового волокна с указанными ранее параметрами $0.495 > \sin \beta > 0.182$ или $29.7^\circ > \beta > 10.5^\circ$ при исключении отраженного излучения остается еще рассеянный свет. Для оптически полированных поверхностей доля рассеянного света составляет 0,1–0,01 % от мощности падающего на поверхность излучения.

Мощность приемника (P_r) в благоприятных погодных условиях с метеорологической дальностью L , находящейся в пределах от 18,1 до 20 км, определяется выражением

$$P_r = \frac{D^2 P_t}{\alpha^2 r^2} \cdot k \gamma, \quad (2)$$

где D – световой диаметр оптической системы, м; $P_t = 3 \text{ мВт}$ – выходная мощность передатчика; $k=0,4$ – сквозное пропускание оптических систем; γ – половинный угол расходности излучения, вышедшего из оптического волокна в воздух, рад; α – угол между оптической осью вводимого излучения и оптической осью многомодового волокна, рад.

Выражение для определения мощности на приемнике (P_r) при воздействии мешающих поточных явлений имеет вид

$$P_r = P_t \cdot \frac{d_2^2}{[d + (DR)]^2} \cdot 10^{(-\alpha R / 10)}, \quad (3)$$

где R – дистанция, км; d – диаметр апертуры передатчика, м; d – диаметр апертуры приемника, м; $D = 0,15$ – расходность излучения, мрад (по уровню 1/e для гауссовых лучков; FWHM для прямоугольного распределения), α – коэффициент затухания в атмосфере, дБ/км, $P_t = 3 \text{ мВт}$ – выходная мощность передатчика.

В выражении (3) мощность на приемнике проториональна мощности излучения и площади приемной апертуры и обратно пропорциональна квадрату расходности пучка излучения и квадрату длины линии связи.

ПРЕДВАРИТЕЛЬНЫЙ РАСЧЕТ

Для эффективной эксплуатации оборудования необходимо производить расчет энергетического бюджета линии. К работе непосредственно

изводить расчет энергетического бюджета линии. К работе непосредственно

ственno на лабораторной установке допускаются только студенты, выполнившие вычисления и ознакомившиеся с теоретическими сведениями об АОЛС и параметрах ГПМ.

Коэффициент атмосферного затухания – неконтролируемый параметр окружающей среды и не зависящий от длины волны в тяжелых погодных условиях. Принимаемая мощность экспоненциально зависит от произведения данного коэффициента на расстояние и в реальной атмосфере для систем с требуемым уровнем доступности 99,9 % этот фактор в уравнении оказывает наибольшее влияние. В табл. 1 содержатся исходные данные для предварительного расчёта.

Таблица 1. Исходные данные

№ варианта	Погодные условия	Затухание, дБ/км
1	Ясная погода	1
2	Облачность	320
3	Смог	10
4	Густой туман	40
5	Легкий туман	20
6	Облачность	380
7	Густой туман	70
8	Ясная погода	0
9	Смог	350
10	Легкий туман	16
11	Ясная погода	22
12	Смог	3

Задание:

1. Определить мощность приемника для дистанции 0,5; 1; 1,5 км при наличии смога, легкого тумана (туман 1), густого тумана (туман 2) соответственно номеру бригады. Построить график зависимости мощности от дальности.
2. Рассчитать уровень геометрических потерь для каждой дистанции в эксперименте по выражению (4) и построить график, иллюстрирующий эту зависимость:

$$L_{\Gamma} = \frac{d_{\text{пр}}}{a_{\text{пр}} + R + Q},$$

где $Q=0,15$ – угол расходимости излучения, мрад; R – расстояние между приемной и передающей апертурами, м.

ПРОГРАММА РАБОТЫ

1. Включить интерфейсные модули М1-GE-2.

По данным табл.2 построить график зависимости мощности приемника от расстояния при различных погодных условиях, исследованных в эксперименте.

СОДЕРЖАНИЕ ОТЧЁТА

1. Цель работы.
2. Схема экспериментальной установки.
3. Предварительные расчёты.
4. Результаты измерений в виде таблиц и графиков.
5. Выводы.

2. Поместить препятствие (например, тетрадный лист) между оптическими модулями и по наличию звука убедиться в их работоспособности. (Наличие звука свидетельствует об исправности системы наведения.)
3. На ПК запустить программное обеспечение Telegcn2G.jar. Во вкладке «Состояние» проверить состояние системы наведения.
- 3.1. Перейти во вкладку «Поддержка». Определить мощность сигнала на передающем и приемном оптических модулях. Зафиксировать показания.
- 3.2. Установить на швеллере между приемным и передающим оптическими модулями стекла, имитирующие естественные помехи: смог, легкий туман, густой туман.
- 3.3. Снять стекла.
- 3.4. Провести последовательную установку стекол, имитирующих расстояние. Стекла устанавливаются на швеллере между приемным и передающим оптическими модулями.

Таблица 2. Результаты измерений

L, м	1. Без имитации погодных условий	2. Режим «Туман 1»	3. Режим «Туман 2»	4. Режим «Смог»
R _{пр} , мкВт				
P _{пр} , мкВт				
P _{пр} , мкВт				
P _{пр} , мкВт				

На усмотрение преподавателя допускается иметь один отчёт на бригаду.

КОНТРОЛЬНЫЕ ВОПРОСЫ

1. Какими достоинствами и недостатками обладают атмосферные оптические линии связи по сравнению с волоконно-оптическими?
2. Сравните достоинства и недостатки атмосферной оптической линии связи и радиоканалов передачи данных. Перечислите сферы их применения.
3. От чего зависит предельная чувствительность приёмника атмосферной оптической линии связи?
4. Изобразите структуру оптического приемника с предварительным ОУ.
5. Изобразите структуру оптического передатчика.
6. Каким образом погодные условия оказывают влияние на работу АОЛС?
7. Что представляют собой потери мощности на рассеяние и поглощение?
8. Что такое геометрические потери? От чего они зависят?
9. Какие шумы сопровождают приём оптических сигналов?
10. Какие виды фотодетекторов используются в атмосферной оптической линии связи? Назовите их достоинства и недостатки.
11. Виды модуляции лазерного излучения. Методы модуляции оптических сигналов.
12. Фоновый оптический шум и его особенности.
13. Оптимальный выбор длины волны оптического передатчика атмосферной оптической линии связи.
14. Требования к системе наведения атмосферной оптической линии связи. Точность наведения.
15. Лазеры оптических систем передачи информации. Оптический выбор лазера атмосферной оптической линии связи.
16. Перечислите внутренние и внешние параметры, влияющие на работу АОЛС. Оцените их влияние.

3. Кириллов С.Н. Пропускная способность подводного оптического канала передачи информации с колдимпульсной модуляцией и интенсивности [Текст] / С. Н. Кириллов, Л. В. Аронов // Вестник РГРТУ . – 2020. – № 4 (74). – С. 3-13. DOI: 10.21667/1995-4565-2020-74-3-13

4. Кириллов С. Н. Разработка модели распространения оптического сигнала в водной среде для подводных систем передачи информации [Текст] / С. Н. Кириллов, С. А. Балок, С. Н. Кузнецов, А. С. Есенин // Вестник РГРТУ. – 2012. – №2. – С. 3-8.

5. Аронов Л.В. Геометрические потери в подводном канале передачи информации на основе источника когерентного оптического излучения [Текст] / Л. В. Аронов // Современные технологии в науке и образовании – СТНО-2019 : сб. тр. междунар. науч.-техн. и науч.-метод. конф.: в 10 т. Т.1 / под общ. ред. О.В. Миловзорова. – Рязань: Рязан. гос. радиотехн. ун-т, 2019; Рязань. – 206 с. – С. 118-121.

6. Bloom S. Understanding the performance of free-space optics [Текст] / S. Bloom, E. Korevaar, J. Schuster, H. Willebrand // Journal of optical networking/ Vol.2. No. 6, 2003. P. 178-200.

7. Шереметьев А. Г. Статистическая теория лазерной связи [Текст] / А. Г. Шереметьев. – М. : Связь, 1971. – С. 264

8. Кирилов С.Н. Обнаружение оптического сигнала на фоне шумов фотодетектора [Текст] / С.Н. Кириллов, Л.В. Аронов // Актуальные проблемы современной науки и производства: Материалы III Всероссийской научно-технической конференции. – 2018. – С. 188-191.

Автор настоящих методических указаний выражает благодарность компании АО «Мостиком» и лично Олегу Игоревичу за переданную кафедре радиоуправления и связи АОЛС Artolink M-G, а также за техническую поддержку.

Автор выражает благодарность Красиной Марии Игоревне, студентке группы 018М, за активное участие в подготовке данных методических указаний и Михайлиной Елене Олеговне, студентке группы 818 за помощь в сборке и установке держателя стёкол на лабораторном стенде.

БИБЛИОГРАФИЧЕСКИЙ СПИСОК

1. Кузнецов С. Система оптической связи в подводной среде [Текст] / С. Кузнецов, Б. Огнёв, С. Поляков // Первая миля . – 2014 – № 2. – С. 46-51.
2. Прарт В.К. Лазерные системы связи / пер. с англ. под ред. А.Г. Шереметьева. [Текст] . – М.: Радио и связь, 1993. – 232 с.

МЕРЫ БЕЗОПАСНОСТИ ПРИ РАБОТЕ С ИСТОЧНИКАМИ ЛАЗЕРНОГО ИЗЛУЧЕНИЯ

В процессе выполнения лабораторной работы используется излучение полупроводникового лазера ИК диапазона (1550 нм), невидимого человеческому глазу. Данное излучение является опасным и вредным фактором, поэтому работа с ним требует соблюдения определенных мер безопасности.

МЕРЫ БЕЗОПАСНОСТИ

1. В установке применен лазер, по степени опасности генерируемое излучение относится к классу 1.

2. В рабочей зоне установки запрещается использовать приборы и предметы с зеркальными поверхностями. Перед началом работы необходимо убедиться в исправности установки и отсутствии опасности падания лазерного излучения вне выделенной зоны.

3. Персонал, работающий с лазерными установками, обязан пользоваться необходимыми средствами индивидуальной защиты в соответствии с требованиями, определяемыми классом лазерной опасности. Глаза сотрудников должны быть защищены масками или очками.

4. О всех нарушениях в работе установки и других отступлениях от нормального режима работы необходимо немедленно сообщить подавателю или ответственному за лабораторию.

ЗАПРЕЩАЕТСЯ

1. При работе с лазерным излучением:
 - смотреть навстречу первичному и зеркально отраженному лучу;
 - оставлять бесконтрольный пространство, в котором производятся манипуляции;
 - работать без защитных очков в зоне излучения;
 - проводить ремонтные и наладочные работы при подключенной к сети установке.
2. При эксплуатации установки:
 - производить замену сетевых предохранителей, соединения и разъединения кабелей при включенной в сеть установке;
 - наблюдать прямое или зеркальное отражение лазерного излучения;
 - работать на заведомо неисправной установке;
 - оставлять установку без присмотра во включенном состоянии;
 - производить включение лазера при рассыпанном разъеме излучателя источника питания.